



Studio Mastella
Geologia Geotecnica Idraulica Ambiente

INDAGINI MASW

Viale Verona, 41b, 37026, Pescantina (VR) - Italy
Tel. / Fax: +39 045 9234224 / +39 045 6850199
Cell.: +39 333 4325864

www.studiomastella.it info@studiomastella.it
studiomastella@epap.sicurezzapostale.it



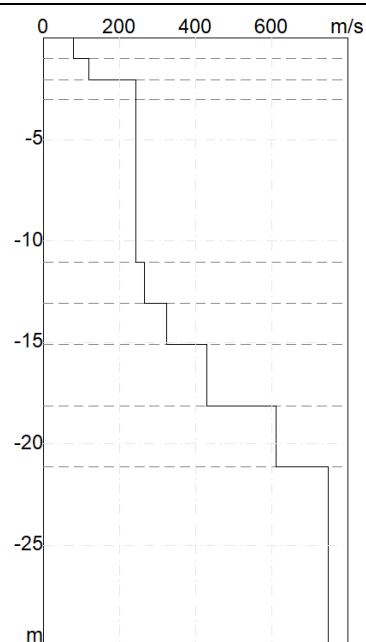
MISURA IN ARRAY DI TIPO M.A.S.W.

Codice	BDP01	Data di acquisizione	25/05/2017
Latitudine inizio WGS84	45.724400	Interdistanza tra i geofoni (X)	2 metri
Longitudine inizio WGS84	12.336250	Valore medio V_{s30} da p.c.	310.97 m/s
Latitudine fine WGS84	45.724217	Categoria di sottosuolo	C
Longitudine fine WGS84	12.336317		

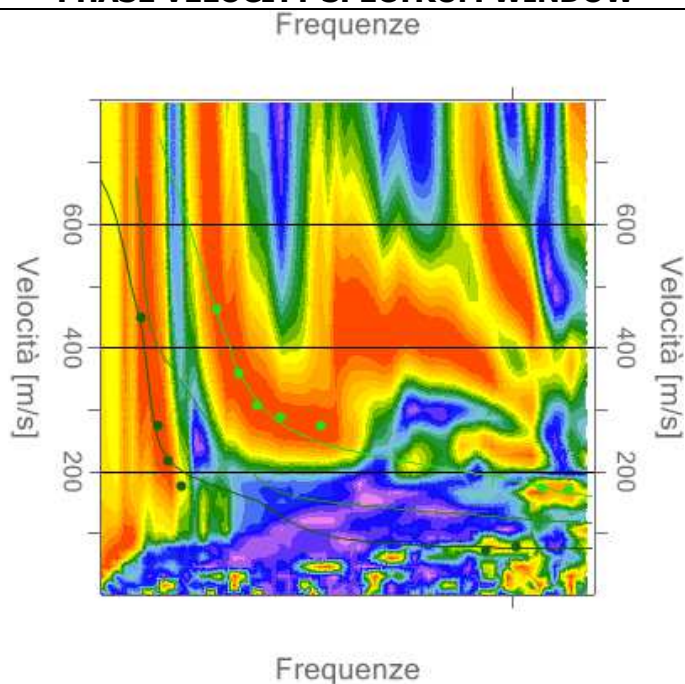
FOTOGRAFIA



PROFILO DI VELOCITA' V_s



PHASE VELOCITY SPECTRUM WINDOW

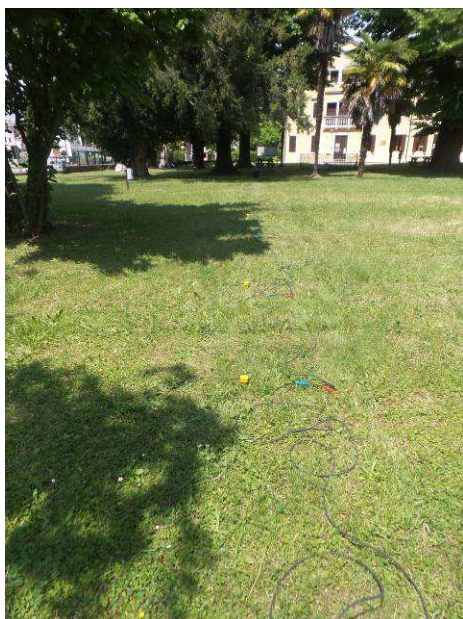




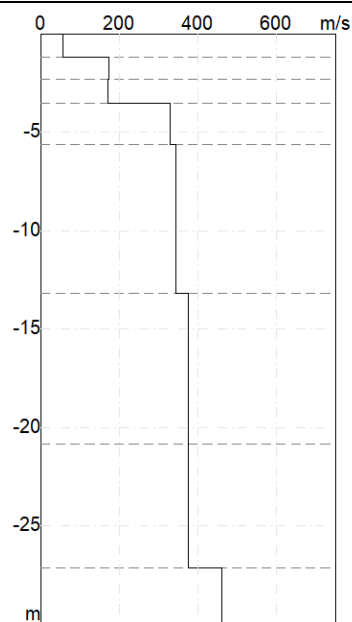
MISURA IN ARRAY DI TIPO M.A.S.W.

Codice	BDP02	Data di acquisizione	25/05/2017
Latitudine inizio WGS84	45.724200	Interdistanza tra i geofoni (X)	2 metri
Longitudine inizio WGS84	12.331333	Valore medio V_{s30} da p.c.	282.40 m/s
Latitudine fine WGS84	45.724333	Categoria di sottosuolo	C
Longitudine fine WGS84	12.331283		

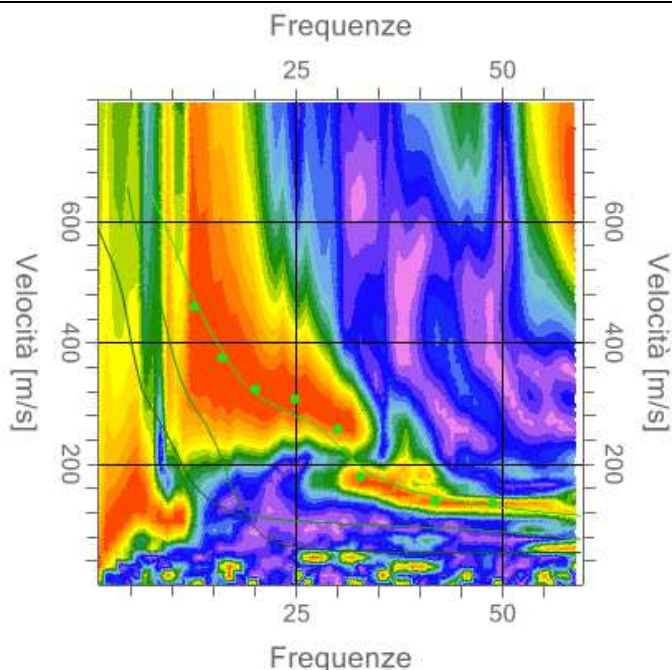
FOTOGRAFIA



PROFILO DI VELOCITA' V_s



PHASE VELOCITY SPECTRUM WINDOW





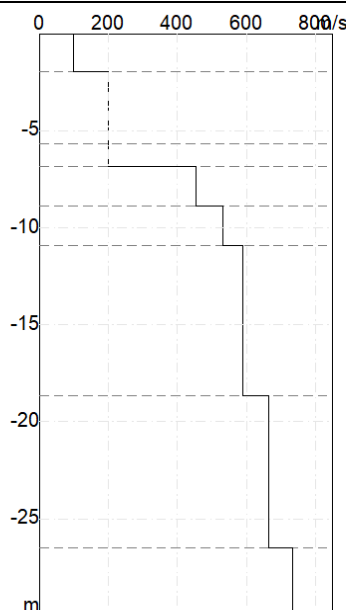
MISURA IN ARRAY DI TIPO M.A.S.W.

Codice	BDP03	Data di acquisizione	25/05/2017
Latitudine inizio WGS84	45.723167	Interdistanza tra i geofoni (X)	2 metri
Longitudine inizio WGS84	12.338733	Valore medio V_{s30} da p.c.	365.69 m/s
Latitudine fine WGS84	45.723267	Categoria di sottosuolo	B
Longitudine fine WGS84	12.338517		

FOTOGRAFIA

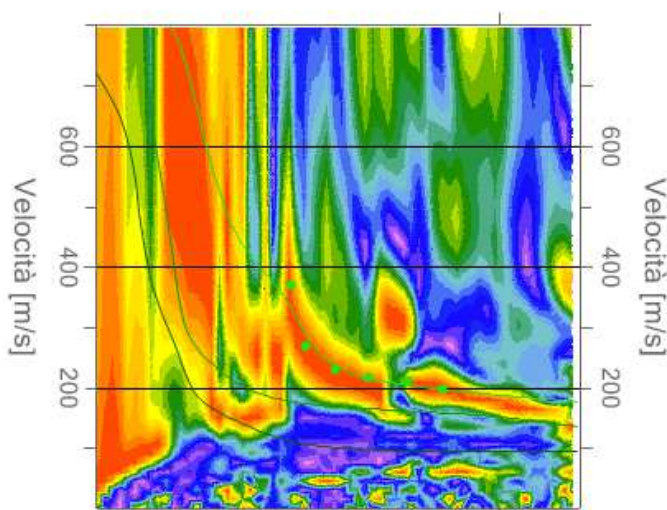


PROFILO DI VELOCITA' V_s



PHASE VELOCITY SPECTRUM WINDOW

Frequenze



Frequenze



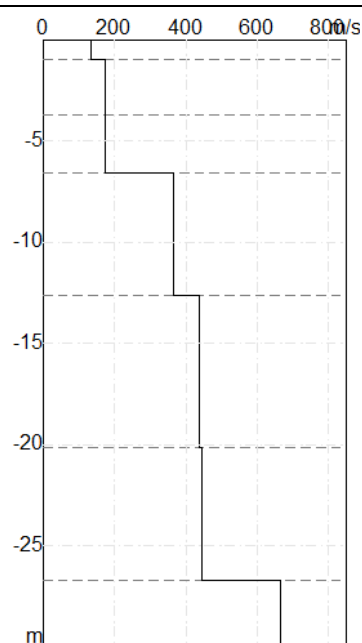
MISURA IN ARRAY DI TIPO M.A.S.W.

Codice	BDP07	Data di acquisizione	25/05/2017
Latitudine inizio WGS84	45.730949	Interdistanza tra i geofoni (X)	2 metri
Longitudine inizio WGS84	12.327286	Valore medio V_{s30} da p.c.	322.10 m/s
Latitudine fine WGS84	45.731033	Categoria di sottosuolo	C
Longitudine fine WGS84	12.327033		

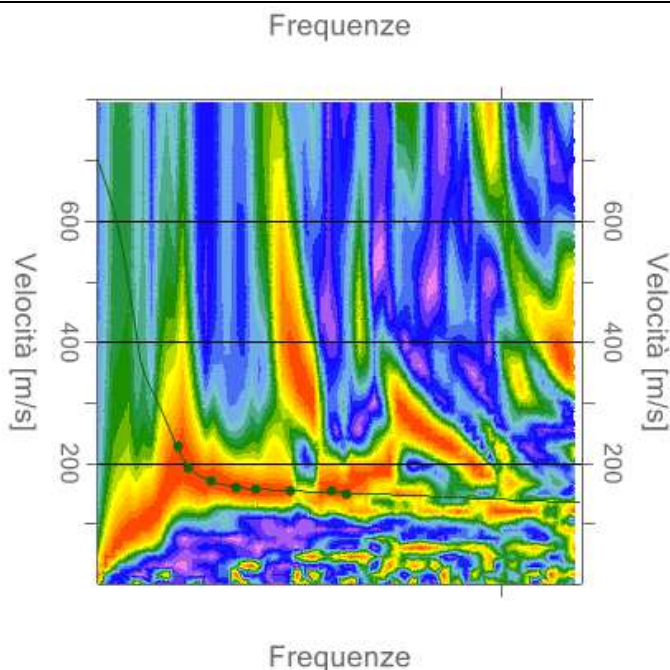
FOTOGRAFIA



PROFILO DI VELOCITA' V_s



PHASE VELOCITY SPECTRUM WINDOW





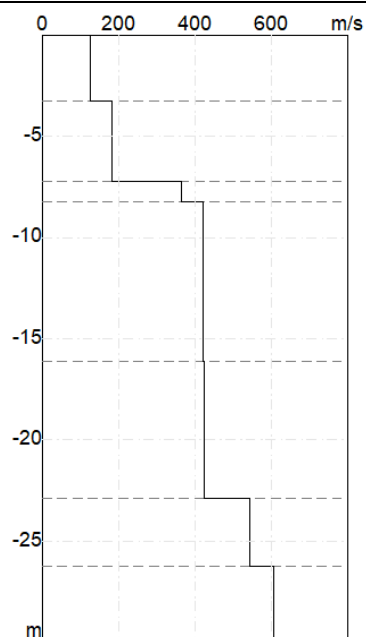
MISURA IN ARRAY DI TIPO M.A.S.W.

Codice	BDP08	Data di acquisizione	25/05/2017
Latitudine inizio WGS84	45.732550	Interdistanza tra i geofoni (X)	2 metri
Longitudine inizio WGS84	12.336950	Valore medio V_{s30} da p.c.	307.50 m/s
Latitudine fine WGS84	45.732750	Categoria di sottosuolo	C
Longitudine fine WGS84	12.337050		

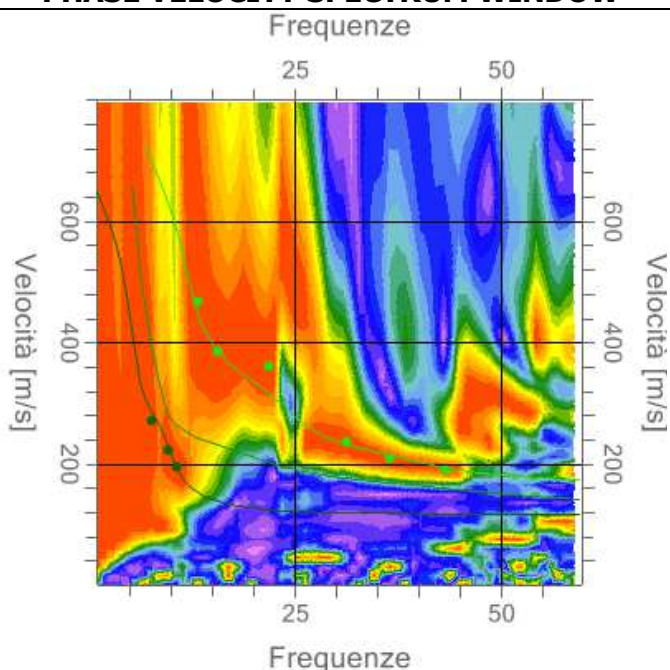
FOTOGRAFIA



PROFILO DI VELOCITA' V_s



PHASE VELOCITY SPECTRUM WINDOW





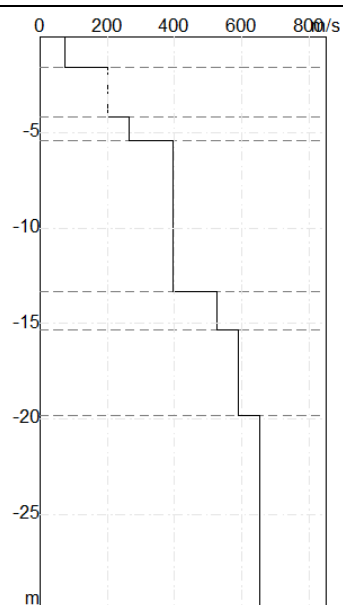
MISURA IN ARRAY DI TIPO M.A.S.W.

Codice	BDP09	Data di acquisizione	23/05/2017
Latitudine inizio WGS84	45.706833	Interdistanza tra i geofoni (X)	2 metri
Longitudine inizio WGS84	12.306600	Valore medio V_{s30} da p.c.	350.45 m/s
Latitudine fine WGS84	45.706667	Categoria di sottosuolo	C
Longitudine fine WGS84	12.306533		

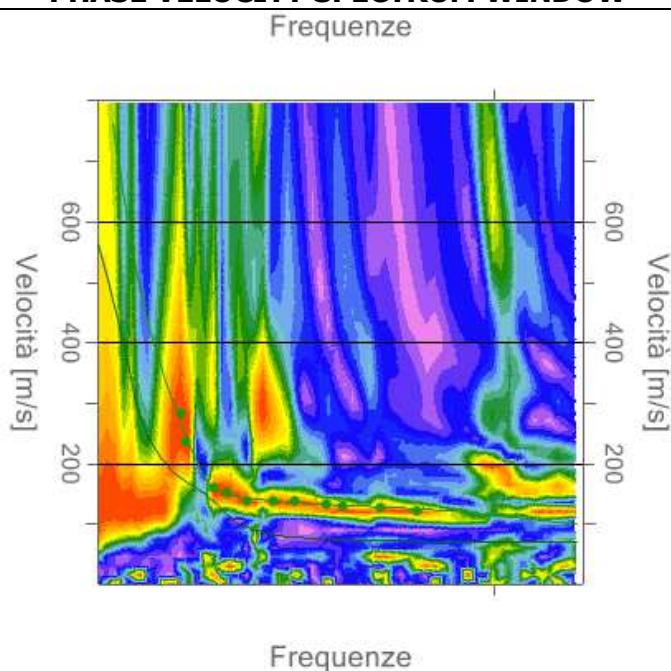
FOTOGRAFIA



PROFILO DI VELOCITA' V_s



PHASE VELOCITY SPECTRUM WINDOW





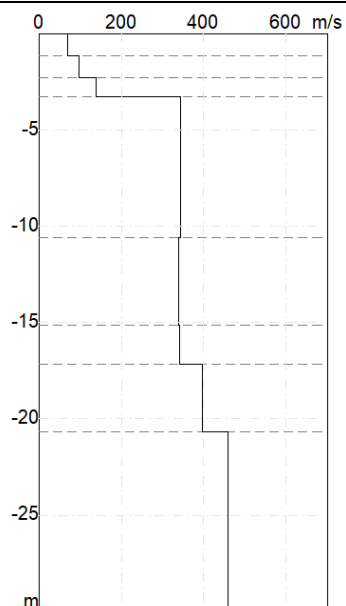
MISURA IN ARRAY DI TIPO M.A.S.W.

Codice	BDP11	Data di acquisizione	23/05/2017
Latitudine inizio WGS84	45.716050	Interdistanza tra i geofoni (X)	2 metri
Longitudine inizio WGS84	12.319667	Valore medio V_{s30} da p.c.	283.91 m/s
Latitudine fine WGS84	45.715950	Categoria di sottosuolo	C
Longitudine fine WGS84	12.319883		

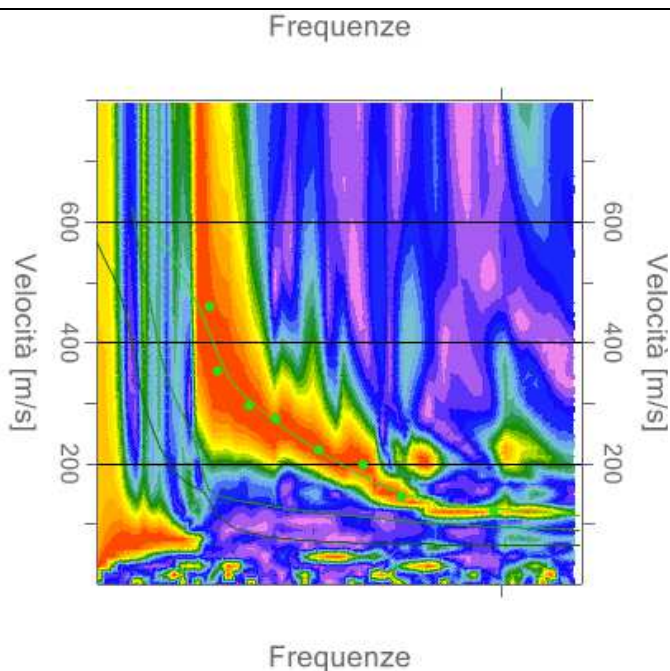
FOTOGRAFIA



PROFILO DI VELOCITA' V_s



PHASE VELOCITY SPECTRUM WINDOW





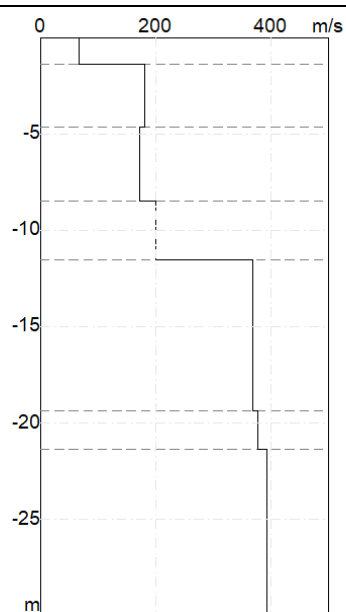
MISURA IN ARRAY DI TIPO M.A.S.W.

Codice	BDP12	Data di acquisizione	23/05/2017
Latitudine inizio WGS84	45.716617	Interdistanza tra i geofoni (X)	2 metri
Longitudine inizio WGS84	12.326067	Valore medio V_{s30} da p.c.	240.36 m/s
Latitudine fine WGS84	45.716450	Categoria di sottosuolo	C
Longitudine fine WGS84	12.325917		

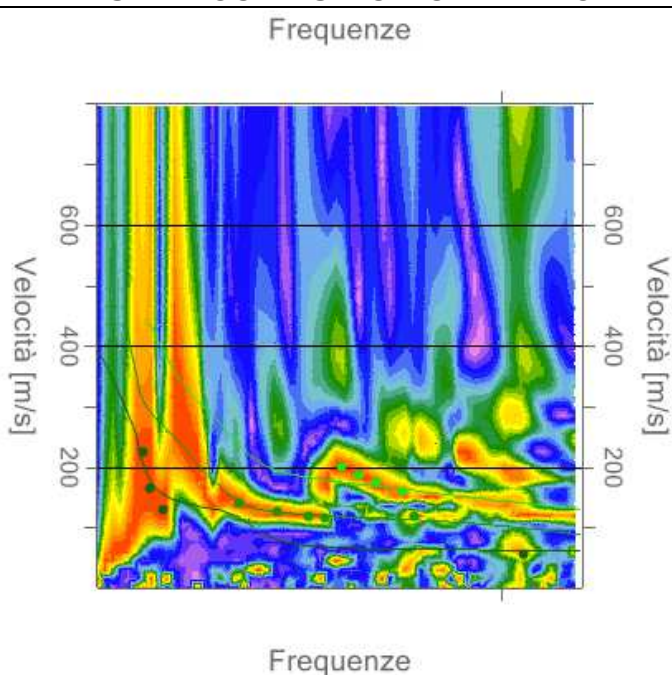
FOTOGRAFIA



PROFILO DI VELOCITA' V_s



PHASE VELOCITY SPECTRUM WINDOW





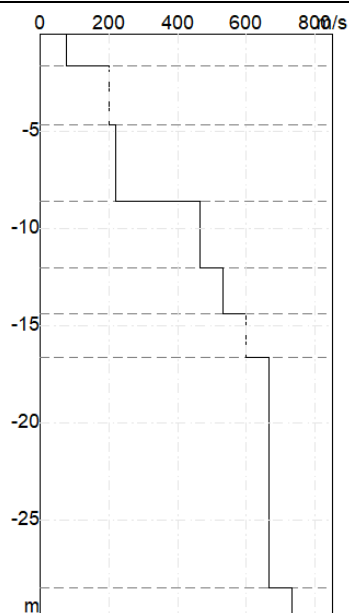
MISURA IN ARRAY DI TIPO M.A.S.W.

Codice	BDP13	Data di acquisizione	23/05/2017
Latitudine inizio WGS84	45.724633	Interdistanza tra i geofoni (X)	2 metri
Longitudine inizio WGS84	12.347667	Valore medio V_{s30} da p.c.	334.22 m/s
Latitudine fine WGS84	45.724667	Categoria di sottosuolo	C
Longitudine fine WGS84	12.347950		

FOTOGRAFIA

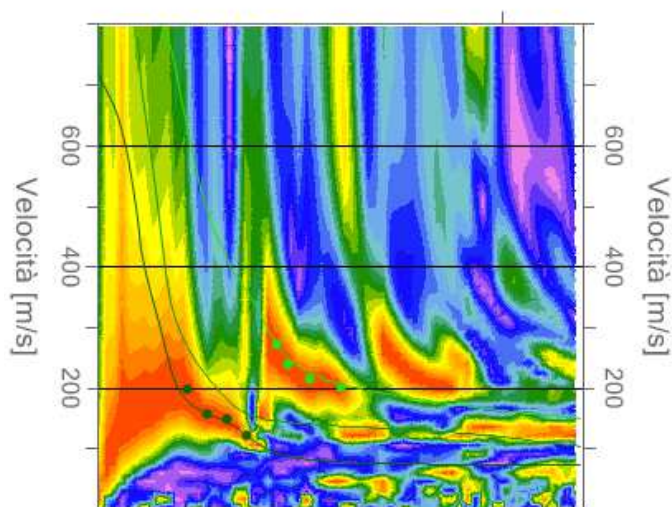


PROFILO DI VELOCITA' V_s



PHASE VELOCITY SPECTRUM WINDOW

Frequenze



Frequenze



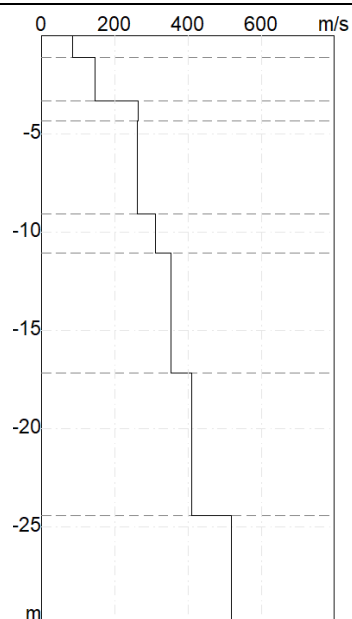
MISURA IN ARRAY DI TIPO M.A.S.W.

Codice	BDP18	Data di acquisizione	26/05/2017
Latitudine inizio WGS84	45.723817	Interdistanza tra i geofoni (X)	2 metri
Longitudine inizio WGS84	12.399867	Valore medio V_{s30} da p.c.	292.91 m/s
Latitudine fine WGS84	45.723633	Categoria di sottosuolo	C
Longitudine fine WGS84	12.399800		

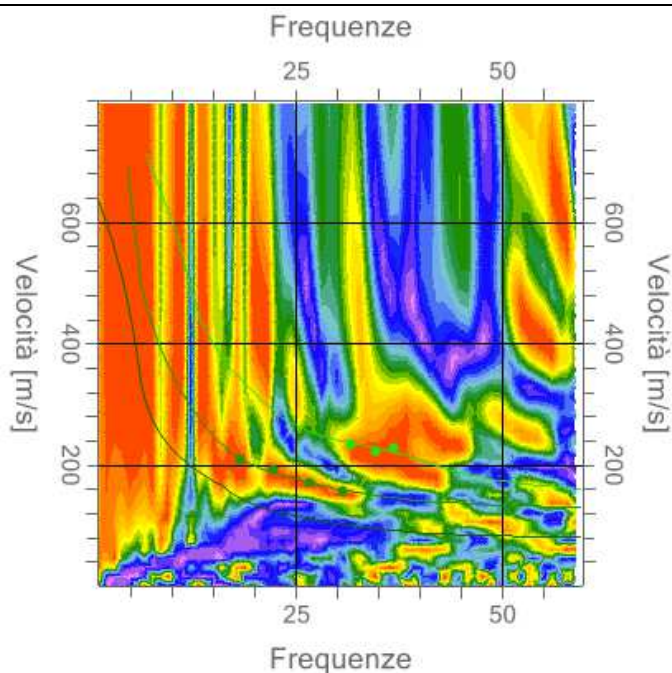
FOTOGRAFIA



PROFILO DI VELOCITA' V_s



PHASE VELOCITY SPECTRUM WINDOW

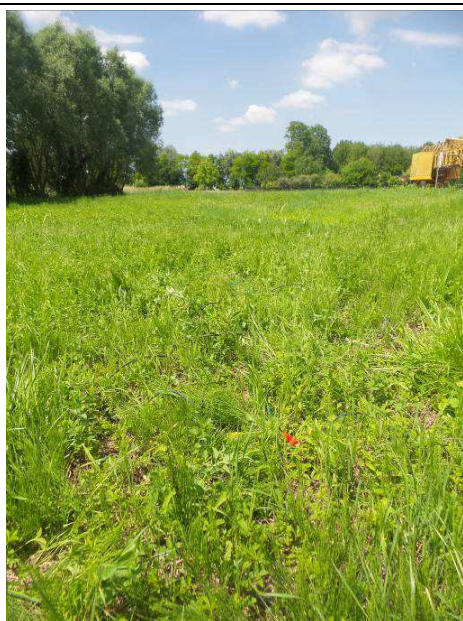




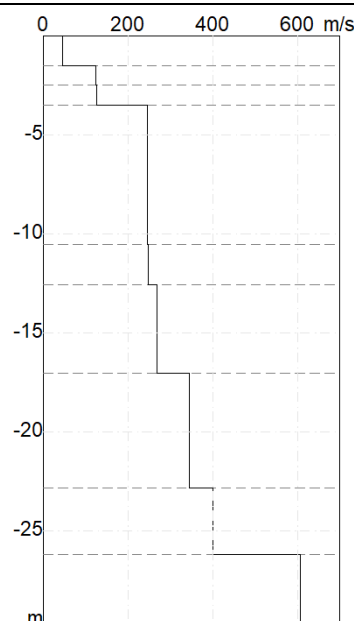
MISURA IN ARRAY DI TIPO M.A.S.W.

Codice	BDP19	Data di acquisizione	26/05/2017
Latitudine inizio WGS84	45.725750	Interdistanza tra i geofoni (X)	2 metri
Longitudine inizio WGS84	12.396900	Valore medio V_{s30} da p.c.	223.06 m/s
Latitudine fine WGS84	45.725750	Categoria di sottosuolo	C
Longitudine fine WGS84	12.396683		

FOTOGRAFIA

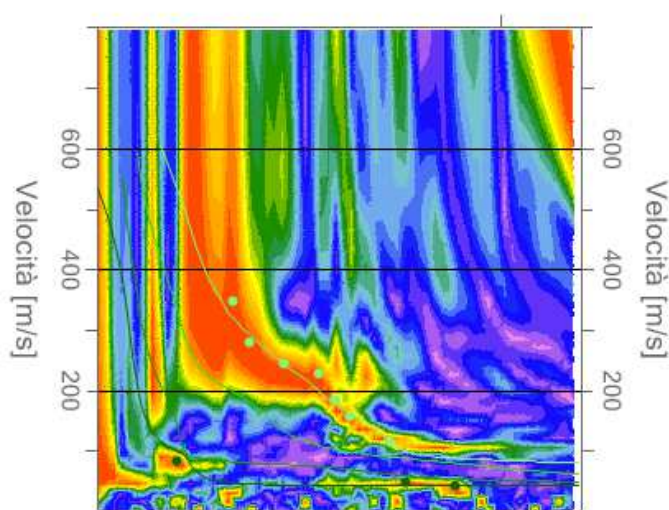


PROFILO DI VELOCITA' V_s



PHASE VELOCITY SPECTRUM WINDOW

Frequenze



Frequenze



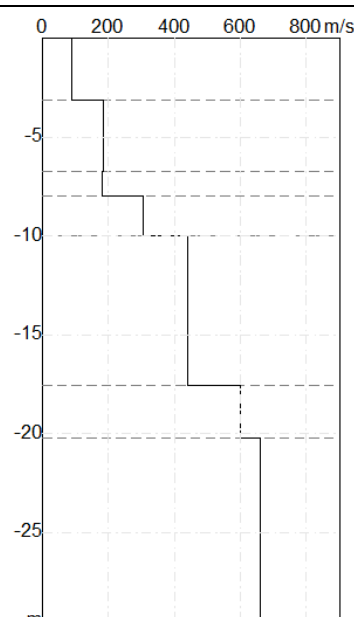
MISURA IN ARRAY DI TIPO M.A.S.W.

Codice	BDP21	Data di acquisizione	26/05/2017
Latitudine inizio WGS84	45.715500	Interdistanza tra i geofoni (X)	2 metri
Longitudine inizio WGS84	12.403183	Valore medio V_{s30} da p.c.	284.60 m/s
Latitudine fine WGS84	45.715517	Categoria di sottosuolo	C
Longitudine fine WGS84	12.402933		

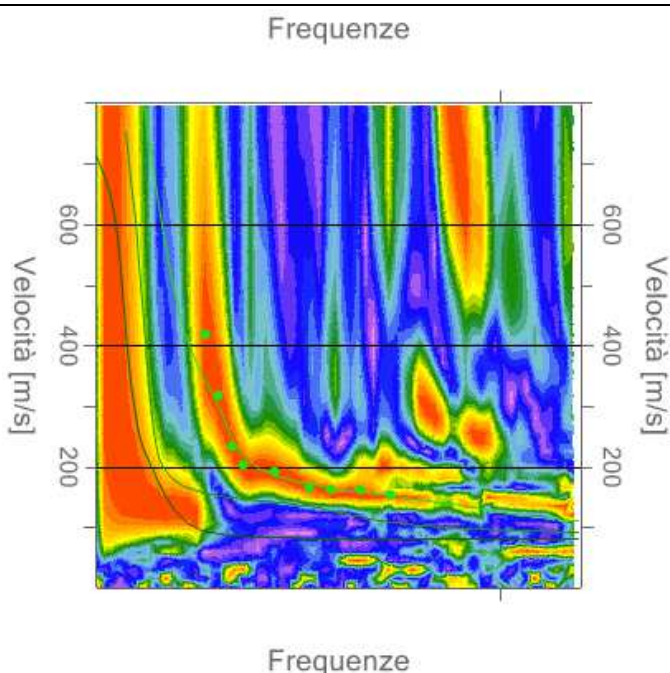
FOTOGRAFIA



PROFILO DI VELOCITA' V_s



PHASE VELOCITY SPECTRUM WINDOW





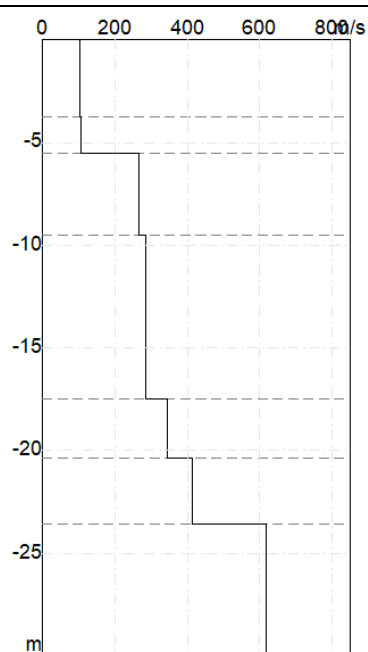
MISURA IN ARRAY DI TIPO M.A.S.W.

Codice	BDP22	Data di acquisizione	26/05/2017
Latitudine inizio WGS84	45.720367	Interdistanza tra i geofoni (X)	2 metri
Longitudine inizio WGS84	12.406233	Valore medio V_{s30} da p.c.	246.36 m/s
Latitudine fine WGS84	45.720483	Categoria di sottosuolo	C
Longitudine fine WGS84	12.406450		

FOTOGRAFIA

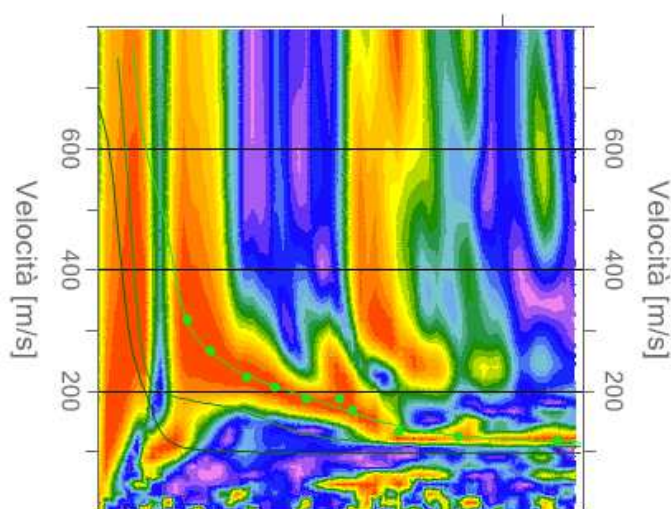


PROFILO DI VELOCITA' V_s



PHASE VELOCITY SPECTRUM WINDOW

Frequenze



Frequenze



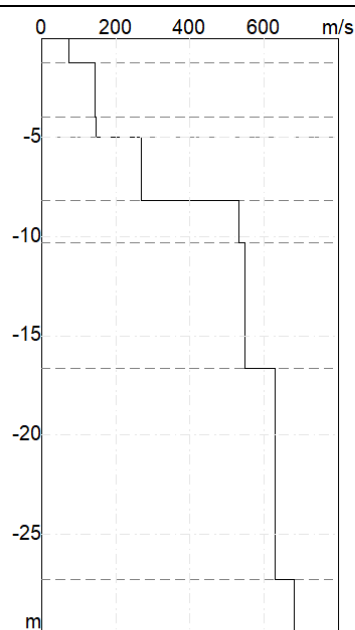
MISURA IN ARRAY DI TIPO M.A.S.W.

Codice	BDP25	Data di acquisizione	24/05/2017
Latitudine inizio WGS84	45.726783	Interdistanza tra i geofoni (X)	2 metri
Longitudine inizio WGS84	12.364717	Valore medio V_{s30} da p.c.	332.18 m/s
Latitudine fine WGS84	45.726683	Categoria di sottosuolo	C
Longitudine fine WGS84	12.364500		

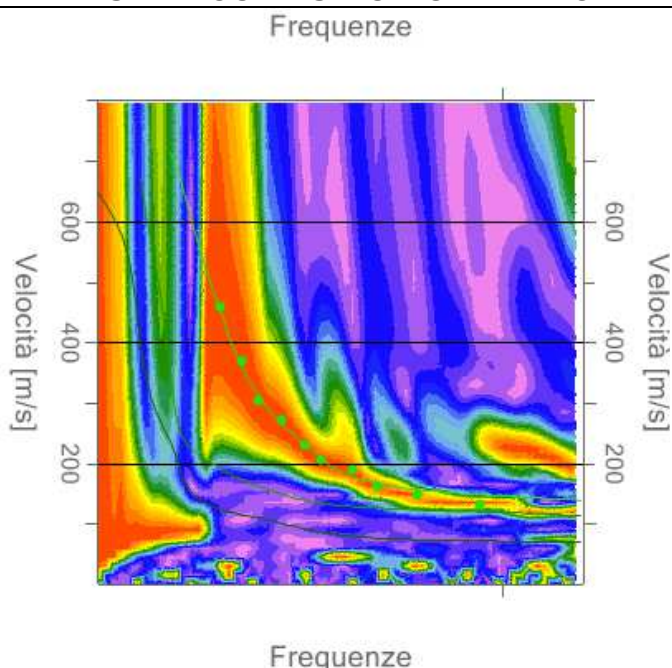
FOTOGRAFIA



PROFILO DI VELOCITA' V_s



PHASE VELOCITY SPECTRUM WINDOW





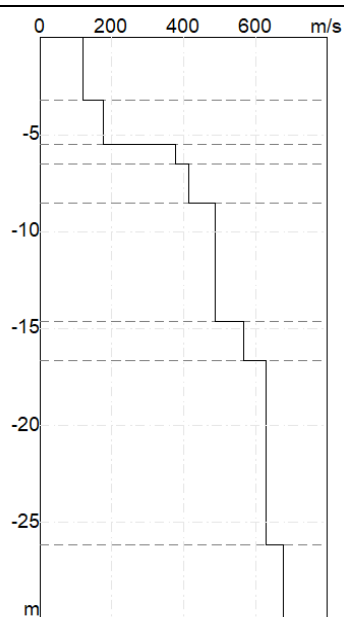
MISURA IN ARRAY DI TIPO M.A.S.W.

Codice	BDP27	Data di acquisizione	23/05/2017
Latitudine inizio WGS84	45.707383	Interdistanza tra i geofoni (X)	2 metri
Longitudine inizio WGS84	12.317517	Valore medio V_{s30} da p.c.	357.96 m/s
Latitudine fine WGS84	45.707317	Categoria di sottosuolo	C
Longitudine fine WGS84	12.317267		

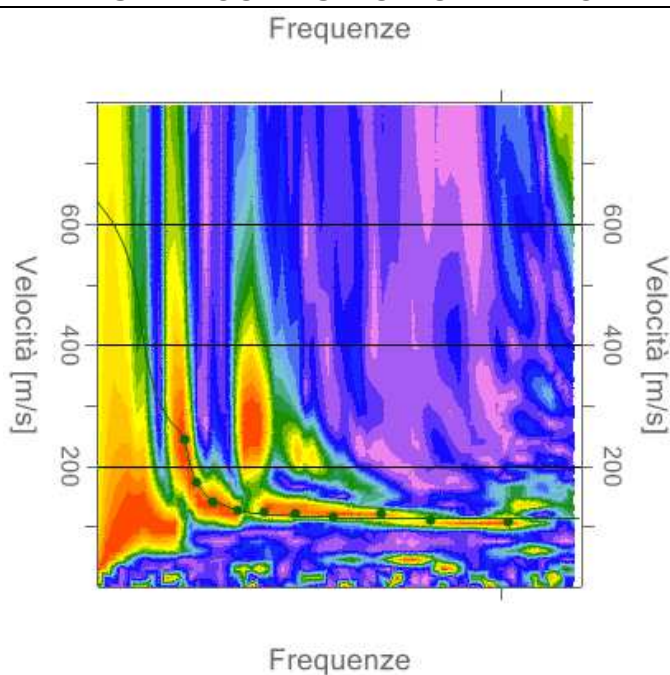
FOTOGRAFIA



PROFILO DI VELOCITA' V_s



PHASE VELOCITY SPECTRUM WINDOW





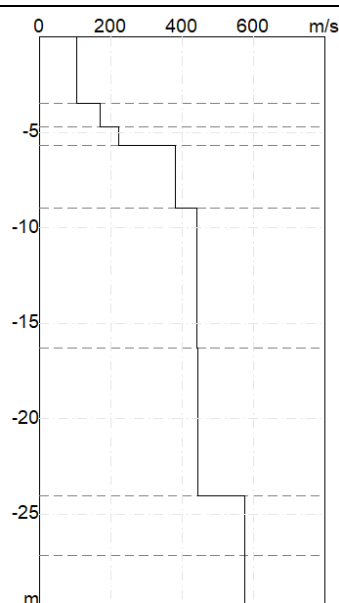
MISURA IN ARRAY DI TIPO M.A.S.W.

Codice	BDP28	Data di acquisizione	23/05/2017
Latitudine inizio WGS84	45.704233	Interdistanza tra i geofoni (X)	2 metri
Longitudine inizio WGS84	12.309733	Valore medio V_{s30} da p.c.	304.09 m/s
Latitudine fine WGS84	45.704150	Categoria di sottosuolo	C
Longitudine fine WGS84	12.309467		

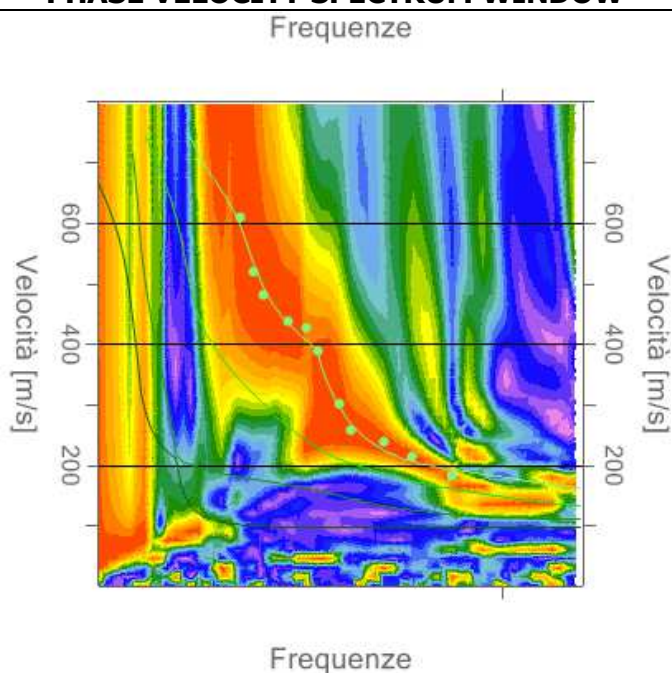
FOTOGRAFIA



PROFILO DI VELOCITA' V_s



PHASE VELOCITY SPECTRUM WINDOW





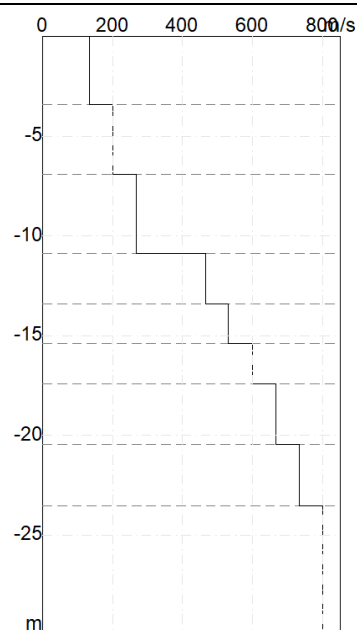
MISURA IN ARRAY DI TIPO M.A.S.W.

Codice	BDP29	Data di acquisizione	24/05/2017
Latitudine inizio WGS84	45.708567	Interdistanza tra i geofoni (X)	2 metri
Longitudine inizio WGS84	12.351383	Valore medio V_{s30} da p.c.	343.31 m/s
Latitudine fine WGS84	45.708717	Categoria di sottosuolo	C
Longitudine fine WGS84	12.351200		

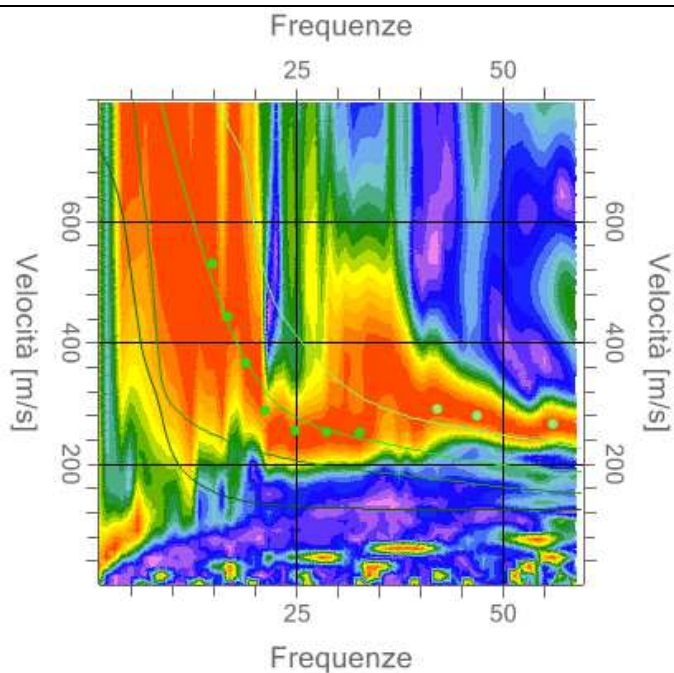
FOTOGRAFIA



PROFILO DI VELOCITA' V_s



PHASE VELOCITY SPECTRUM WINDOW





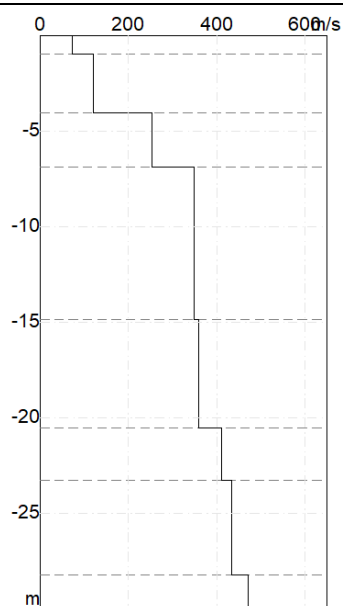
MISURA IN ARRAY DI TIPO M.A.S.W.

Codice	BDP30	Data di acquisizione	26/05/2017
Latitudine inizio WGS84	45.708267	Interdistanza tra i geofoni (X)	2 metri
Longitudine inizio WGS84	12.409417	Valore medio V_{s30} da p.c.	270.77 m/s
Latitudine fine WGS84	45.708200	Categoria di sottosuolo	C
Longitudine fine WGS84	12.409683		

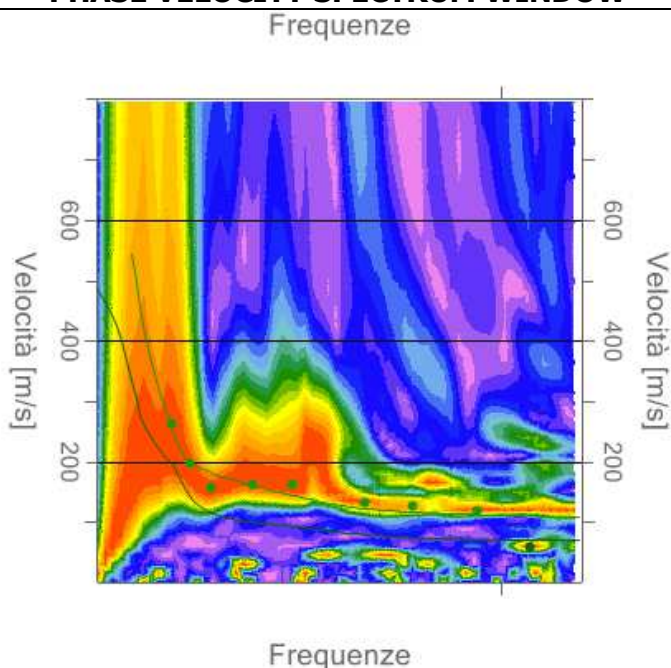
FOTOGRAFIA



PROFILO DI VELOCITA' V_s



PHASE VELOCITY SPECTRUM WINDOW





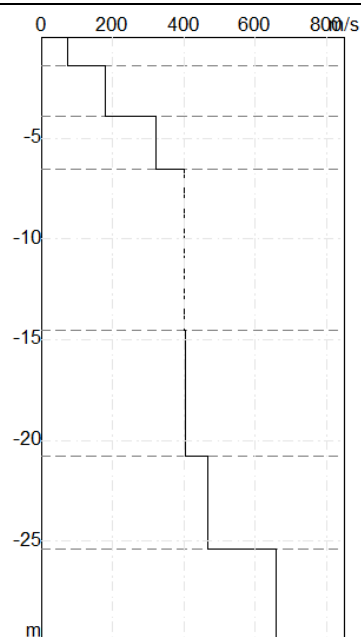
MISURA IN ARRAY DI TIPO M.A.S.W.

Codice	BDP31	Data di acquisizione	24/05/2017
Latitudine inizio WGS84	45.720600	Interdistanza tra i geofoni (X)	2 metri
Longitudine inizio WGS84	12.382817	Valore medio V_{s30} da p.c.	321.45 m/s
Latitudine fine WGS84	45.720750	Categoria di sottosuolo	C
Longitudine fine WGS84	12.382983		

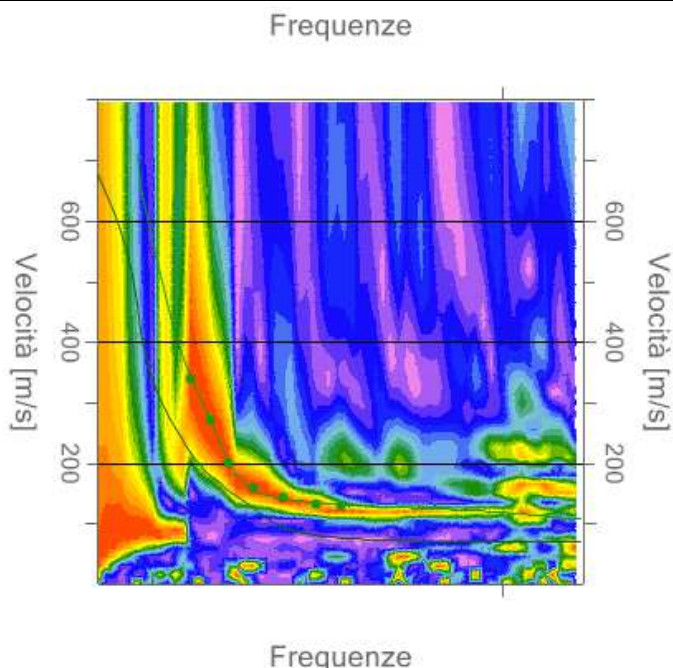
FOTOGRAFIA



PROFILO DI VELOCITA' V_s



PHASE VELOCITY SPECTRUM WINDOW





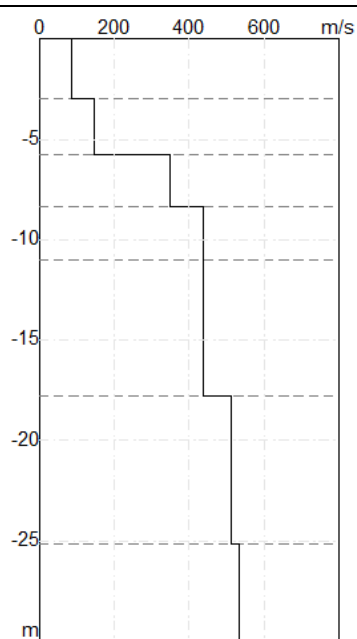
MISURA IN ARRAY DI TIPO M.A.S.W.

Codice	BDP32	Data di acquisizione	23/05/2017
Latitudine inizio WGS84	45.725750	Interdistanza tra i geofoni (X)	2 metri
Longitudine inizio WGS84	12.359483	Valore medio V_{s30} da p.c.	283.56 m/s
Latitudine fine WGS84	45.725567	Categoria di sottosuolo	C
Longitudine fine WGS84	12.359400		

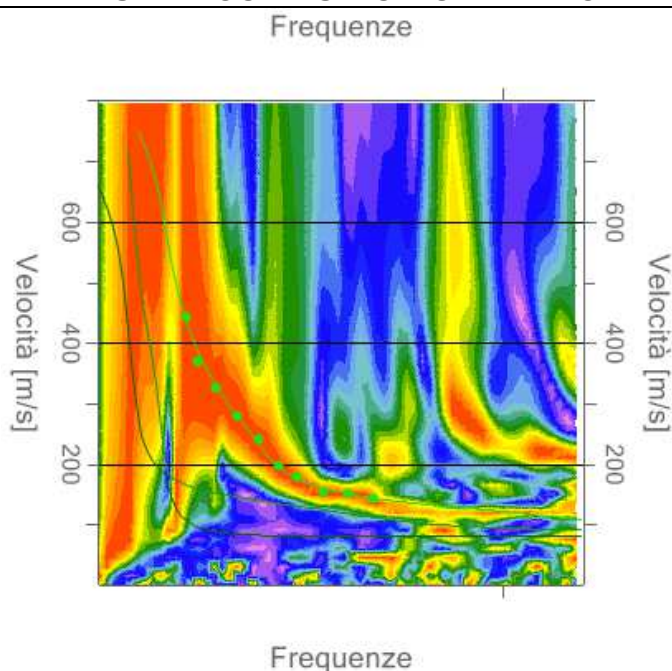
FOTOGRAFIA



PROFILO DI VELOCITA' V_s



PHASE VELOCITY SPECTRUM WINDOW





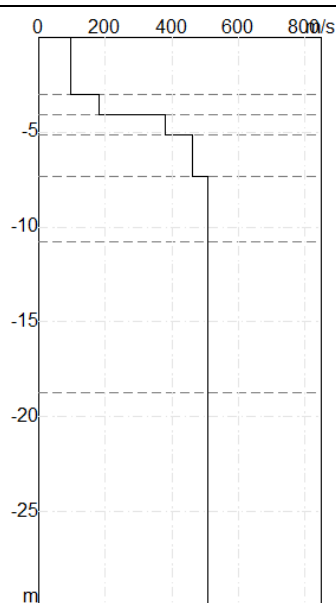
MISURA IN ARRAY DI TIPO M.A.S.W.

Codice	BDP33	Data di acquisizione	24/05/2017
Latitudine inizio WGS84	45.712850	Interdistanza tra i geofoni (X)	2 metri
Longitudine inizio WGS84	12.377650	Valore medio V_{s30} da p.c.	334.95 m/s
Latitudine fine WGS84	45.712683	Categoria di sottosuolo	C
Longitudine fine WGS84	12.376750		

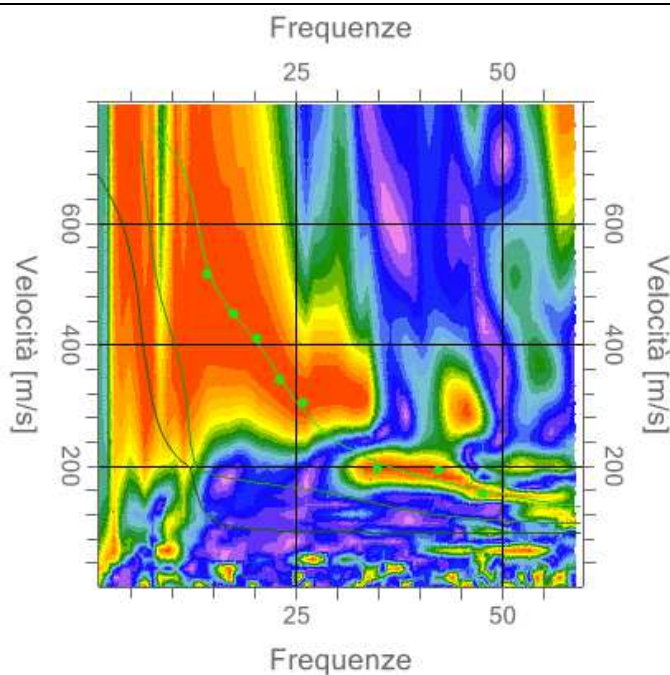
FOTOGRAFIA



PROFILO DI VELOCITA' V_s



PHASE VELOCITY SPECTRUM WINDOW





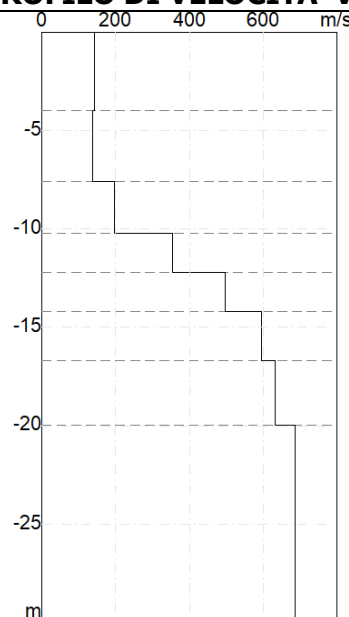
MISURA IN ARRAY DI TIPO M.A.S.W.

Codice	BDP34	Data di acquisizione	26/05/2017
Latitudine inizio WGS84	45.716800	Interdistanza tra i geofoni (X)	2 metri
Longitudine inizio WGS84	12.349667	Valore medio V_{s30} da p.c.	296.07 m/s
Latitudine fine WGS84	45.716917	Categoria di sottosuolo	C
Longitudine fine WGS84	12.349900		

FOTOGRAFIA



PROFILO DI VELOCITA' V_s



PHASE VELOCITY SPECTRUM WINDOW

